

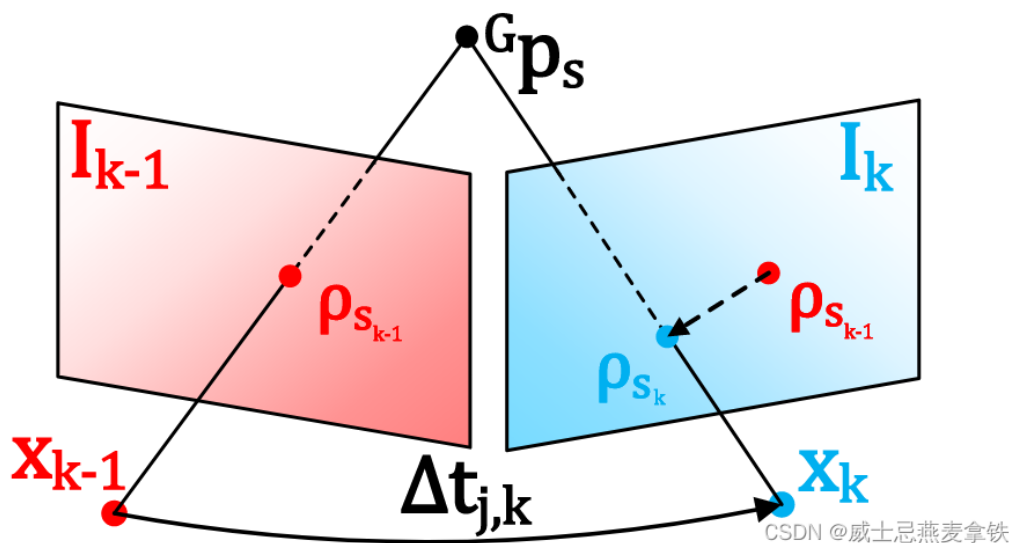
VIO子系统通过最小化帧到帧的PnP重投影误差和最小化帧到全局地图的光度误差来估计系统的状态，并渲染全局地图的纹理。具体过程如下：

1. 在帧与帧之间，通过Lucas-Kanade光流法跟踪一定数量的地图点，并通过最小化这些点的PnP重投影误差来估计系统状态。系统估计通过ESIKF框架进行迭代求解，与高斯牛顿法（GN）等价。
2. 在帧与全局地图之间，将全局地图中被跟踪的点投影到当前图像帧中，然后最小化这些点的帧与地图之间的光度误差，从而更精确的估计系统状态。同样的，系统估计通过ESIKF框架进行迭代求解。
3. 在帧到全局地图的VIO更新之后，可以得到当前图像帧的精确位姿，然后通过对应地图点在当前图像帧上对应的像素和相邻像素的RGB颜色进行线性插值，从而渲染地图点的颜色。

1 帧到帧的VIO

假设我们在上一帧图像帧 I_{k-1} 中追踪了 m 个地图点，这 m 个地图点记为 $P = \{P_1, \dots, P_m\}$ ，它们在图像帧 I_{k-1} 中的投影坐标记为 $\{\rho_{1k-1}, \dots, \rho_{mk-1}\}$ ，使用 Lucas-Kanade 光流法可以找出这些地图点在当前图像帧 I_k 中的投影坐标，记为 $\{\rho_{1k}, \dots, \rho_{mk}\}$ 。然后我们通过 ESIKF 来计算和优化这些地图点的重投影误差，从而估计出系统的状态。

1.1 PnP重投影误差



如上图所示，以第 s 个点 $P_s = [Gps^T, cs^T]^T \in \mathbb{P}$ 为例，其中前面的3维向量 $Gps^T = [Gps_x, Gps_y, Gps_z]^T$ 表示点 s 在世界坐标系下的三维坐标，后面的 $cs^T = [c_s^r, c_s^g, c_s^b]^T$ 表示点 s 的RGB颜色。

为了计算点 s 在图像帧 I_k 中的重投影误差，我们先将点 s 转换到相机坐标系当中，即：

$$Cps = [Cp_x, Cp_y, Cp_z]^T = (GR^T I_k - IR^T C_k) T \cdot Gps - IR^T C_k T \cdot Ip^T C_k - (GR^T I_k - IR^T C_k) T \cdot Gp^T I_k(1)$$

$$Cps = [Cp_x, Cp_y, Cp_z]^T = (GR^T I_k - IR^T C_k) T \cdot Gps - IR^T C_k T \cdot Ip^T C_k - (GR^T I_k - IR^T C_k) T \cdot Gp^T I_k(1)$$

这里要注意的是， $CkpG \neq GpCk$ ，而是 $CkpG = -CkRGpCk$ ， $GpCk = -CkRGpCk$ 。

将点 s 的重投影误差记为 $r(x^k, \rho_{s_k}, Gps)$ ，则有：

$$r(x^k, \rho_{s_k}, Gps) = \rho_{s_k} - \pi(Cps, x^k) \quad (2)$$

其中， x^k 是每一次ESIKF迭代的当前状态， $\pi(Cps, x^k) \in \mathbb{R}^2$ 是相机投影模型，可以通过下式计算：

$$\pi(Cps, x^k) = [f^T x^k C p x s C p z s + c^T x^k, f^T y^k C p y s C p z s + c^T y^k] T + t^T C k \Delta t k - 1, k(psk - psk - 1)(3) \begin{aligned} & \boldsymbol{\rho}_i \left(\begin{Bmatrix} \mathbf{p} \\ \mathbf{y} \end{Bmatrix} \right) = \left(\begin{Bmatrix} \mathbf{p} \\ \mathbf{z} \end{Bmatrix} + \begin{Bmatrix} \mathbf{c} \\ \mathbf{y} \end{Bmatrix} \right) \frac{1}{\Delta t_{k-1, k}} \left(\begin{Bmatrix} \mathbf{C} \\ \mathbf{I} \end{Bmatrix} \right) \left(\begin{Bmatrix} \mathbf{p} \\ \mathbf{y} \end{Bmatrix} \right) \\ & \pi(Cps, x^k) = [f^T x^k C p z s C p z s + c^T x^k, f^T y^k C p z s C p z s + c^T y^k] T + \Delta t k - 1, k^T C k (psk - psk - 1)(3) \end{aligned}$$

其中， $\Delta t k - 1, k$ $\Delta t k - 1, k$ $\Delta t k - 1, k$ 是上一帧图像帧 $I k - 1$ $I k - 1$ $I k - 1$ 和当前帧图像帧 $I k$ $I k$ $I k$ 之间的时间间隔。上式等式右边第一个式子是针孔相机投影模型，第二个式子是在线时间校正因子。

误差公式 (2) 中的测量噪声包含两个部分：一个是 Gps 中的地图点位置误差，另一个是 psk 中的像素跟踪误差。

$$Gps = Gpsgt + nps, nps \sim N(0, \Sigma ps)(4) \begin{aligned} & \mathbf{p}_s = \mathbf{p}_s \mathbf{g} \mathbf{t} + \mathbf{n}_p, \mathbf{n}_p \sim N(0, \Sigma ps)(4) \\ & Gps = Gpsgt + nps, nps \sim N(0, \Sigma ps)(4) \end{aligned}$$

$$psk = pskgt + npsk, npsk \sim N(0, \Sigma npsk)(5) \begin{aligned} & \boldsymbol{\rho}_s = \boldsymbol{\rho}_s \mathbf{g} \mathbf{t} + \mathbf{n}_p, \mathbf{n}_p \sim N(0, \Sigma npsk)(5) \\ & \boldsymbol{\rho}_s = \boldsymbol{\rho}_s \mathbf{g} \mathbf{t} + \mathbf{n}_p, \mathbf{n}_p \sim N(0, \Sigma npsk)(5) \end{aligned}$$

其中， $Gpsgt$ $Gpsgt$ $Gpsgt$ 分别为为 Gps Gps Gps 和 psk psk psk 的真值。

然后，我们得到零残差真值 $r(xk, pskgt, Gpsgt)$ $r(xk, pskgt, Gpsgt)$ $r(xk, pskgt, Gpsgt)$ 的一阶泰勒展开为：

$$0 = r(xk, pskgt, Gpsgt) \approx r(x^k, psk, Gps) + Hsr \delta x^k + \alpha s(6) \begin{aligned} & 0 = r(xk, pskgt, Gpsgt) \approx r(x^k, psk, Gps) + Hsr \delta x^k + \alpha s(6) \\ & 0 = r(xk, pskgt, Gpsgt) \approx r(x^k, psk, Gps) + Hsr \delta x^k + \alpha s(6) \end{aligned}$$

其中： $\alpha s \sim N(0, \Sigma \alpha s)$ $\alpha s \sim N(0, \Sigma \alpha s)$ $\alpha s \sim N(0, \Sigma \alpha s)$ ，并且有：

$$Hsr = \partial r c(x^k \otimes \delta x^k, psk, Gps) \partial \delta x^k \mid \delta x^k = 0(7) \begin{aligned} & Hsr = \partial r c(x^k \otimes \delta x^k, psk, Gps) \partial \delta x^k \mid \delta x^k = 0(7) \\ & Hsr = \partial r c(x^k \otimes \delta x^k, psk, Gps) \partial \delta x^k \mid \delta x^k = 0(7) \end{aligned}$$

$$Hsr = \partial x^k \partial r c(x^k \otimes \delta x^k, psk, Gps) \mid \delta x^k = 0(7)$$

$$\Sigma \alpha s = \Sigma npsk + Fpsr \Sigma ps Fpsr T(8) \begin{aligned} & \Sigma \alpha s = \Sigma npsk + Fpsr \Sigma ps Fpsr T(8) \\ & \Sigma \alpha s = \Sigma npsk + Fpsr \Sigma ps Fpsr T(8) \end{aligned}$$

$$Fpsr = \partial r(x^k, psk, Gps) \partial ps(9) \begin{aligned} & Fpsr = \partial r(x^k, psk, Gps) \partial ps(9) \\ & Fpsr = \partial r(x^k, psk, Gps) \partial ps(9) \end{aligned}$$

1.2 帧到帧的VIO ESIKF更新

公式 (6) 表示了 xk xk xk 的观测分布，它可以与IMU传播的先验分布相结合，从而得到误差状态 δx^k δx^k δx^k 的最大后验估计 (MAP)：

$$\min_{\delta x^k} (\delta x^k \mid x^k \otimes x^k + H \delta x^k \mid \Sigma \delta x^k + \Sigma s = 1 m \mid r(x^k, psk, Gps) + Hsr \delta x^k \mid \Sigma \alpha s)(10) \begin{aligned} & \min_{\delta x^k} (\delta x^k \mid x^k \otimes x^k + H \delta x^k \mid \Sigma \delta x^k + \Sigma s = 1 m \mid r(x^k, psk, Gps) + Hsr \delta x^k \mid \Sigma \alpha s)(10) \\ & \min_{\delta x^k} (\delta x^k \mid x^k \otimes x^k + H \delta x^k \mid \Sigma \delta x^k + \Sigma s = 1 m \mid r(x^k, psk, Gps) + Hsr \delta x^k \mid \Sigma \alpha s)(10) \end{aligned}$$

其中 $\Sigma \alpha s = \Sigma npsk + Fpsr \Sigma ps Fpsr T$ $\Sigma \alpha s = \Sigma npsk + Fpsr \Sigma ps Fpsr T$ $\Sigma \alpha s = \Sigma npsk + Fpsr \Sigma ps Fpsr T$ 表示马氏距离的平方， x^k x^k x^k 是IMU传播的状态估计， $\Sigma \delta x^k$ $\Sigma \delta x^k$ $\Sigma \delta x^k$ 是IMU传播状态的协方差， H H H 是从 x^k x^k x^k 的切平面投影到 x^k x^k x^k 的切平面时的状态误差的雅可比矩阵。

其中：

$$H = [H1rT, \dots, HmrT]T(11) \begin{aligned} & H = [H1rT, \dots, HmrT]T(11) \\ & H = [H1rT, \dots, HmrT]T(11) \end{aligned}$$

$$R = \text{diag}(\Sigma \alpha 1, \dots, \Sigma \alpha m)(12) \begin{aligned} & R = \text{diag}(\Sigma \alpha 1, \dots, \Sigma \alpha m)(12) \\ & R = \text{diag}(\Sigma \alpha 1, \dots, \Sigma \alpha m)(12) \end{aligned}$$

$$z^k = [r(x^k, p1k, Gp1) \dots, r(x^k, pmk, Gpm)]T(13) \begin{aligned} & z^k = [r(x^k, p1k, Gp1) \dots, r(x^k, pmk, Gpm)]T(13) \\ & z^k = [r(x^k, p1k, Gp1) \dots, r(x^k, pmk, Gpm)]T(13) \end{aligned}$$

$$P = (H) - 1 \Sigma \delta x^k (H) - T(14) \begin{aligned} & P = (H) - 1 \Sigma \delta x^k (H) - T(14) \\ & P = (H) - 1 \Sigma \delta x^k (H) - T(14) \end{aligned}$$

Kalman增益可以通过下式计算：

$$K = (HTR - 1H + P - 1) - 1HTR - 1(15) \begin{aligned} & K = (HTR - 1H + P - 1) - 1HTR - 1(15) \\ & K = (HTR - 1H + P - 1) - 1HTR - 1(15) \end{aligned}$$

从而，我们可以通过下式进行误差状态更新：

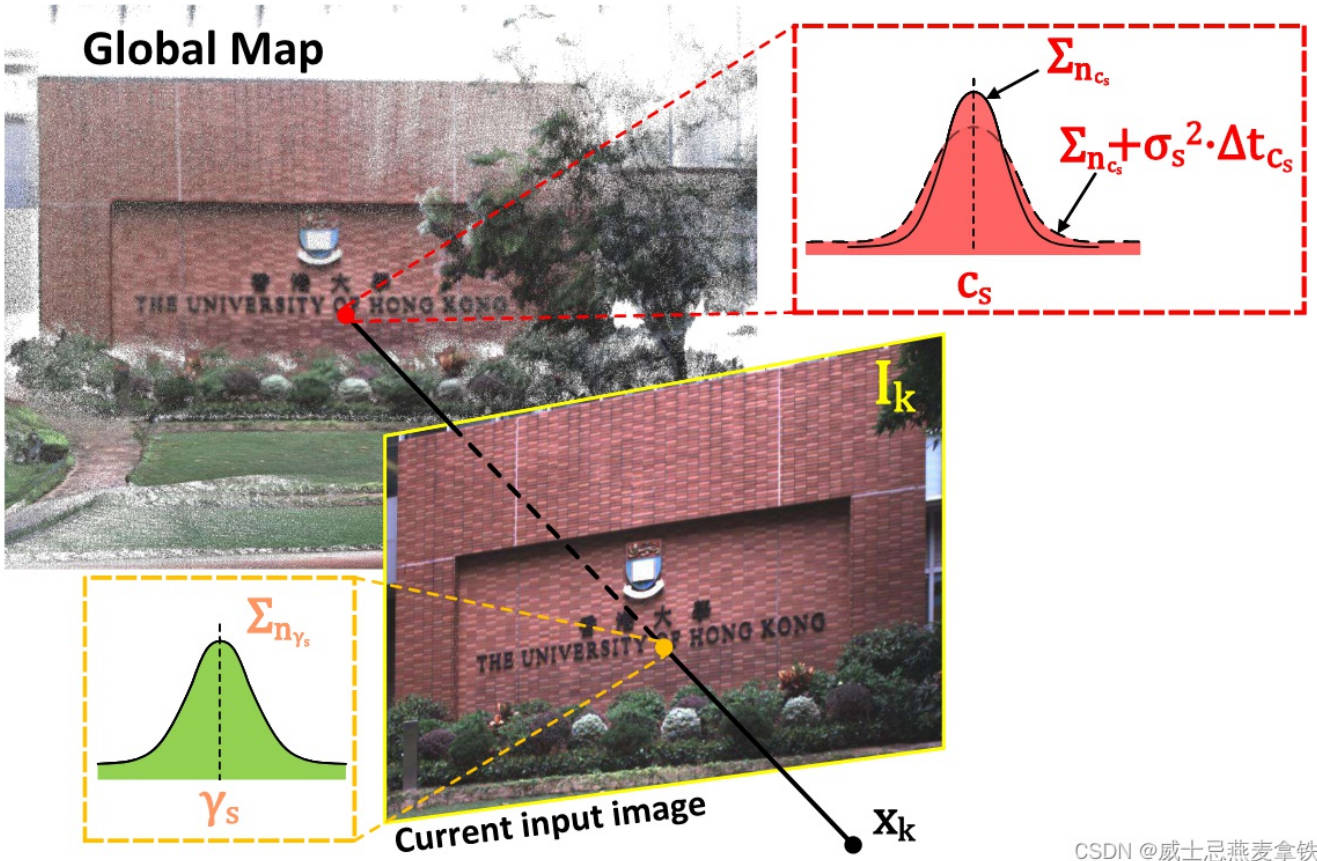
$$x^k = x^k \otimes (-Kz^k - (I - KH)(H) - 1(x^k \otimes x^k))(16) \begin{aligned} & x^k = x^k \otimes (-Kz^k - (I - KH)(H) - 1(x^k \otimes x^k))(16) \\ & x^k = x^k \otimes (-Kz^k - (I - KH)(H) - 1(x^k \otimes x^k))(16) \end{aligned}$$

迭代上式直到收敛（比如状态更新值小于给定的阈值）。注意，该迭代卡尔曼滤波方法与GN高斯牛顿优化方法等价。

2 帧到地图的VIO

2.1 帧到地图光度更新

在帧到帧的VIO更新之后，我们对系统状态 x^k x^k x^k 有了良好的估计，然后通过最小化跟踪点的光度误差来进行帧到地图的VIO更新，从而降低漂移。



CSDN @威士忌燕麦拿铁

如上图所示，以第 \$s\$ 个点 \$P_s = [GpsT, csT]^T \in P\$ 为例，其帧到地图的光度误差 \$o(x^k, Gps, C_s)\$ 可以通过下式计算：

$$o(x^k, Gps, cs) = cs - \gamma_s \quad (17)$$

其中，\$cs\$ 是保存在全局地图中的颜色，\$\gamma_s\$ 是当前图像帧 \$I_k\$ 中观察到的颜色。为了得到观测到的颜色 \$\gamma_s\$ 及其协方差矩阵 \$\Sigma_{n_{\gamma_s}}\$，我们预测点 \$s\$ 在当前图像帧 \$I_k\$ 上的坐标为 \$p \sim s_k = \pi(Cps, x^k)\$，然后线性插值计算得到相邻像素的RGB颜色。

我们同样考虑 \$\gamma_s\$ 和 \$cs\$ 的测量误差：

$$\gamma_s = \gamma_s^{gt} + n_{\gamma_s}, n_{\gamma_s} \sim N(0, \Sigma_{n_{\gamma_s}}) \quad (18)$$

$$cs = cs^{gt} + n_{cs} + \eta_{cs}, n_{cs} \sim N(0, \Sigma_{n_{cs}}), \eta_{cs} \sim N(0, \sigma_s^2 \cdot \Delta t_{cs}) \quad (19)$$

其中，\$\gamma_s^{gt}\$ 是 \$\gamma_s\$ 的真值，\$cs^{gt}\$ 是 \$cs\$ 的真值，\$\Delta t_{cs}\$ 是当前帧和 \$P_s\$ 上次渲染时的时间间隔。

在公式 (19) 中，\$cs\$ 的测量噪声由两部分组成：上次渲染的估计误差 \$n_{cs}\$ 和脉冲随机游走过程噪声 \$\eta_{cs}\$（它解释了环境光照的变化）。

结合公式 (17)(18)(19)，我们得到残差零真值 \$o(x^k, Gps^{gt}, cs^{gt})\$ 的一阶泰勒展开：

$$0 = o(x^k, Gps^{gt}, cs^{gt}) \approx o(x^k, Gps, cs) + Hso \delta x^k + \beta s \quad (20)$$

其中：

$$Hso = \partial o(x^k, Gps, cs) / \partial x^k \quad | \quad \delta x^k = 0 \quad (21)$$

$$\Sigma \beta s = \Sigma n_{cs} + \sigma_s^2 \cdot \Delta t_{cs} + \Sigma n_{\gamma_s} + Fps o \Sigma p s Fps o^T \quad (22)$$

$$Fps o = \partial o(x^k, Gps, cs) / \partial Gps \quad (23)$$

2.2 帧到地图的VIO ESIKF更新

公式 (20) 构成了 \$\delta x^k\$ 的另一个观测分布，它与IMU传播的先验分布相结合，得到了 \$\delta x^k\$ 的最大后验(MAP)估计：

$$\min_{\delta x^k} (\delta x^k \odot \delta x^k + H \delta x^k + \beta s) / (\Sigma \delta x^k + \Sigma s) \quad (24)$$

$$\check{\mathbf{x}}_k = \left(\mathbf{x}^k, \mathbf{Gp1}, \mathbf{c1} \right)^T, \dots, \left(\mathbf{x}^k, \mathbf{Gpm}, \mathbf{cm} \right)^T \quad (27)$$

$$\mathbf{z}^k = \left(\mathbf{o}(\mathbf{x}^k, \mathbf{Gp1}, \mathbf{c1}), \dots, \mathbf{o}(\mathbf{x}^k, \mathbf{Gpm}, \mathbf{cm}) \right)^T \quad (28)$$

$$\mathbf{P} = (\mathbf{H} - \mathbf{I} \Sigma \delta \mathbf{x}^k (\mathbf{H} - \mathbf{T}))^{-1} \quad (29)$$

其中：

$$\mathbf{H} = [\mathbf{H1oT}, \dots, \mathbf{HmoT}]^T \quad (25)$$

$$\mathbf{R} = \text{diag}(\Sigma \beta_1, \dots, \Sigma \beta_m) \quad (26)$$

$$\mathbf{z}^k = \left(\mathbf{o}(\mathbf{x}^k, \mathbf{Gp1}, \mathbf{c1}), \dots, \mathbf{o}(\mathbf{x}^k, \mathbf{Gpm}, \mathbf{cm}) \right)^T \quad (27)$$

$$\mathbf{P} = (\mathbf{H} - \mathbf{I} \Sigma \delta \mathbf{x}^k (\mathbf{H} - \mathbf{T}))^{-1} \quad (28)$$

然后，我们执行类似于公式（15）和（16）的状态更新：

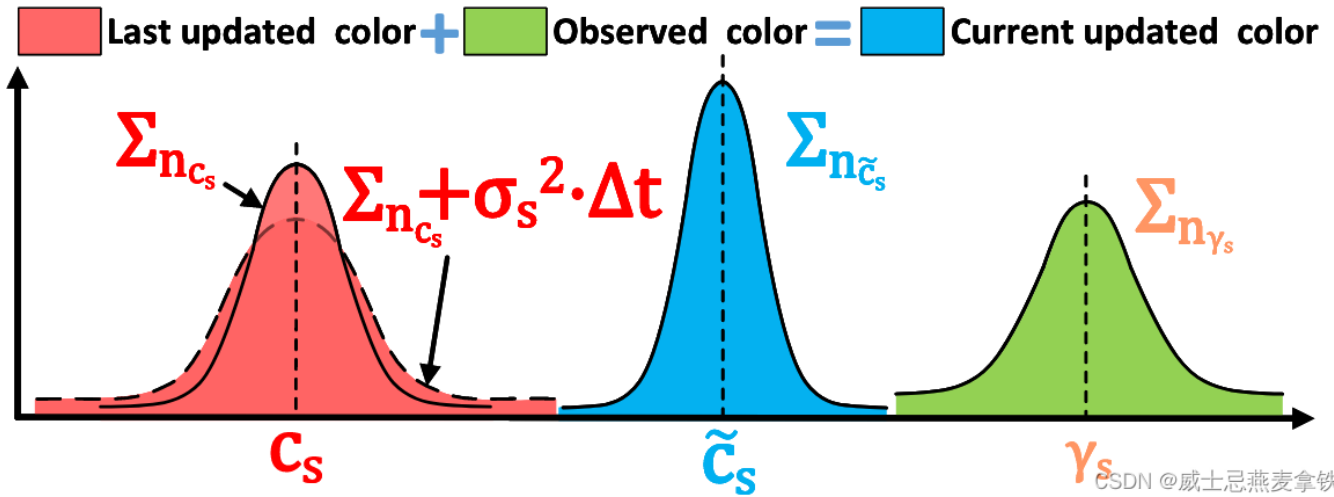
$$\mathbf{x}^k = \mathbf{x}^k, \Sigma \delta \mathbf{x}^k = (\mathbf{I} - \mathbf{K} \mathbf{H}) \Sigma \delta \mathbf{x}^k \quad (29)$$

使用 ESIKF 对帧到地图的 VIO 迭代更新直到收敛，然后使用收敛的状态估计值去：

1. 渲染地图的纹理
2. 更新当前跟踪点集合 \mathcal{P} ，给下一帧使用
3. 在下一帧 LIO 或者 VIO 更新中，作为 IMU 传播的起点

2.3 渲染全局地图的纹理

在帧到地图的 VIO 更新之后，我们得到了当前图像帧的精确位姿，然后我们执行渲染功能来更新地图点的颜色。



首先，我们在所有激活的体系中的检索所有点。假设总共有 n 个点，记为 $\zeta = \{P_1, \dots, P_n\}$ 。以第 s 个点 $P_s = [\mathbf{GpsT}, \mathbf{csT}]^T \in \zeta$ 的颜色更新过程为例。如果点 P_s 落在当前图像帧 I_k 中，我们通过对当前图像帧 I_k 上相邻像素的 RGB 颜色值进行线性插值，得到其观测颜色 γ_s 和协方差 $\Sigma \gamma_s$ 。通过贝叶斯更新，图像上新观测到的点的颜色与记录在地图中的现有颜色值 c_s 进行融合（如上图所示），得到更新后的颜色值和 c_s 的协方差：

$$\Sigma c_{s-} = ((\Sigma nc_s + \sigma_s^2 \cdot \Delta t) - 1 + \Sigma \gamma_s - 1) - 1 \quad (30)$$

$$c_{s-} = ((\Sigma nc_s + \sigma_s^2 \cdot \Delta t) - 1 + \Sigma \gamma_s - 1) - 1 \quad (31)$$

$$c_s = c_{s-}, \Sigma nc_s = \Sigma c_{s-} \quad (32)$$

2.4 VIO 子系统的跟踪点更新

在纹理渲染完成后，我们对所跟踪的点集 \mathcal{P} 进行更新：

- **删除点**：如果点集 \mathcal{P} 的点通过公式（2）计算出来的 PnP 重投影误差或者通过公式（17）计算出来的光度误差太大，我们会从跟踪点的集合中删除这些点，我们还会删除重投影之后不属于当前图像帧 I_k 的点。
- **添加点**：我们将 ζ 中的每个点投影到当前图像帧 I_k 上，如果附近没有其它跟踪点（例如，半径 50 像素内），则将其添加到点集 \mathcal{P} 中。